

**Объединённый институт ядерных исследований
Лаборатория физики высоких энергий**

Овчаренко
Егор Владимирович

**РАЗРАБОТКА МЕТОДОВ МОДЕЛИРОВАНИЯ ФИЗИЧЕСКИХ
УСТАНОВОК И СБОРА ДАННЫХ И ИХ ПРИМЕНЕНИЕ ДЛЯ
ДЕТЕКТОРА ЧЕРЕНКОВСКИХ КОЛЕЦ ЭКСПЕРИМЕНТА СВМ**

Специальность 01.04.01 -
Приборы и методы экспериментальной физики

Диссертация на соискание учёной степени
кандидата физико-математических наук

Научный руководитель:

к.ф.-м.н. С.Г. Белогуров

Дубна - 2017

Введение

1 Результаты

1.1 FLES

Рассмотрим систему считывания и сбора данных “традиционного” эксперимента.

Каждый канал передней электроники имеет выходной буфер, куда по принципу FIFO складываются оцифрованные входные сигналы. В экспериментальной установке присутствуют детекторы, вырабатывающие триггер — сигнал, который заводится (условно) на каждый канал считывания, и говорит о том, что произошло интересное событие, которое необходимо сохранить для последующей обработки. Данный подход имеет свои причины. Во-первых, до недавнего времени физические эксперименты не требовали высоких частот регистрации — выполнение физической программы при относительно низких частотах первичного взаимодействия было осуществимо в разумные сроки. Во-вторых, многие регистрирующие приборы имеют заметное “мёртвое время” — время, в течение которого прибор не может обрабатывать входные сигналы. Следовательно, если канал регистрирует ложный входной сигнал, велика вероятности того, что будет пропущен полезный сигнал.

С развитием электроники “мёртвое время” уменьшалось. Более того, возможность применения принципиально другой считывающей электроники, как например чисто временной канал, реализованный в ППВМ, для обработки сигналов с МА ФЭУ в СВМ RICH, исследуемая в данной работе, позволяет на порядки снизить “мёртвое время” и повысить точность регистрации временной отметки в ущерб полноты информации.

(Сюда подмешивается секция 2.2)

В СВМ планируется использование программного триггера. Это означает, что для того, чтобы принять решение, сохранять принятые данные или нет, необходимо выполнить полную реконструкцию события, включая реконструкцию треков, которая является высоко-затратной задачей. Рассматривается также возможность на определённых этапах работы установки использовать для выработки триггера частичную реконструкцию. Например исследуется возможность триггирования по результатам реконструкций треков только в MUSH, когда стоит задача поиска (такой-то частицы).

В “традиционном” эксперименте триггер может формироваться в результате логических операций над сигналами с нескольких детекторов, реализованных аппаратно. Такая логика работает за (масштаб време-

ни). Реконструкция треков выполняется за гораздо большее время (на столько-то порядков выше). По этой причине необходимо иметь не только буфер в электронике — его будет недостаточно.

Сказать о том, что нужно хорошо настраивать пороги.

Всё вместе привело к разработке FLES. Электроника бестриггерная, несколько уровней концентрации данных, многочисленные буферы, формирование срезов времени, построение интервалов и только после этого мы переходим к построению событий.

(Картинка, где показана схема для частичного триггера, вроде бы от Вальтера)

1.2 Построение события

Тот факт, что физическая программа эксперимента СВМ подразумевает исследование очень редких явлений, для которых практически невозможно вырабатывать аппаратный триггер, привёл к решению разработать и использовать бестриггерную систему считывания. В бестриггерной системе считывания каждый канал передней электроники вырабатывает сообщение при преодолении входным аналоговым сигналом установленного порога. Получается, что электроника выдаёт для программного обеспечения непрерывный поток никак не сгруппированных сообщений, содержащих временную отметку. Для того, чтобы выполнять физический анализ, необходимо в этом непрерывном потоке выделять осмысленные группы, которые мы называем событиями. Строго говоря, задача построения событий — это одномерная задача кластеризации на оси времени с последующим отбором кластеров по некоторым критериям.

Задача также усложнена тем фактом, что электроника не может обеспечить непрерывный поток сообщений, упорядоченных по времени регистрации. Происходит группировка сообщений в так называемые DAQ-события, которые необходимы для обеспечения передачи информации, а сообщения внутри DAQ-событий могут быть упорядочены произвольно. Соответственно первый этап построения события — упорядочивание сообщений.

В данных с пучковых тестов 2014 г., для того, чтобы определить, является ли распознанная группа событием, можно использовать сигналы с детекторов пучка — пороговых черенковских счётчиков, годоскопов и др. В лабораторных данных, где выполнялись измерения с лазером, в качестве триггера можно использовать сигнал от генератора, управляющего лазером. В ситуации, когда нет дополнительной информации, как в случае полного детектора RICH в итоговом эксперименте, необходимо принимать решение о том, является распознанная группа событием, или

нет, на основе исключительно информации, полученной из этой группы. Распознанный кластер может являться событием, но чаще всего будет состоять из одного сообщения — шумового хита. Следовательно можно использовать кол-во хитов в событии для подавления шумов, что особенно актуально для детектора CBM RICH, где выполняется реконструкция черенковских колец, требующая некоторого минимального числа хитов в плоскости реконструкции.

(Сначала общая идея, что в любом случае будет некоторое временное окно и все сообщения попадающие в окно формируют событие. Размеры окна — один из параметров построителя событий, которым можно играть с целью повышения эффективности.)

(А здесь можно описать предлагаемый алгоритм)

1.3 LeadingEdgeDiff

Один из этапов обработки данных — построение событий. В данной работе рассматривается два типа событий — сигналы от лазера и сигналы от черенковского кольца. В любом случае, событие — это структура данных, содержащая информацию о хитах, сгруппированных по времени. Каждый хит содержит, как минимум, временную отметку момента прихода переднего фронта сигнала и номер канала, который в случае CBM RICH указывает номер пикселя фоточувствительной камеры, т.е. говорит о геометрическом положении зарегистрированного фотона.

Данное исследование посвящено, в первую очередь, временным характеристикам системы считывания, поэтому в основном речь пойдёт о временных отметках.

Т.к. событие имеет максимальную ширину, определяемую размерами окна в алгоритме построения событий, распределения могут иметь “обрезанные хвосты”, которые, однако, невозможно избежать.

Очевидно, что для каждого события можно построить несколько распределений, которые на большом массиве данных, т.е. на многих событиях, характеризуют систему считывания и могут быть использованы для калибровки электроники с целью повышения временного разрешения системы.

Пусть событие содержит N хитов. Введём внутри события нумерацию хитов от 0 до N . Пусть внутри события хиты упорядочены по времени, т.е. хит с временной отметкой t_0 был зарегистрирован раньше остальных, а хит с временной отметкой t_N — позже всех. Такой порядок может, например, обеспечиваться естественным образом алгоритмом построения событий. Введём в рассмотрение распределение ω разностей временных отметок всех хитов, кроме первого, относительно первого, т.е. распреде-

ление $t_j - t_0$, где $j \in [1..N]$. Также введём распределение σ всех пар временных отметок одного события, т.е. $t_j - t_i$, где $i \in [0..N], j \in [0..N], i \neq j$.

В идеальной ситуации, если событие соответствует одной вспышке лазера или одному черенковскому кольцу, и отсутствуют факторы, размывающие время регистрации, все разницы были бы равны нулю. В качестве таких размывающих факторов можно привести, например, следующие: временные характеристики лазера, разброс геометрических путей черенковских фотонов, разброс времени прохождения электронной лавины в диодной системе ФЭУ, дребезг сигналов в передней электронике. Из-за перечисленных явлений распределение ω имеет следующую форму — (описание). Распределение σ — (описание).

Представляется возможность анализировать различные области фоточувствительной камеры. Интересно группировать хиты в соответствии с тем, какой электроникой они обрабатываются. В данном анализе было введено 4 подмножества: 1 пара каналов, 16 каналов одной платы передней электроники, 64 канала одного МА ФЭУ, 256 каналов 4 МА ФЭУ, образующих площадку 2x2 МА ФЭУ в одном углу камеры. При том, что вся фоточувствительная камера на пучковых тестах имела размер 4x4 МА ФЭУ, рассматривать более 4 МА ФЭУ одновременно не имеет смысла, т.к. в прототипе были установлены различные модели МА ФЭУ, некоторые покрытые сместителем спектра, а некоторые нет.

1.4 Исследование спектросместителя с помощью флюориметра

Были проведены независимые флюорометрические измерения пара-терфениловой плёнки, нанесённой по той же технологии (dip-coating), что применяется для напыления сместителя спектра на поверхность МА ФЭУ в CBM RICH. Измеренный временной профиль приведён на рисунке 1, а результаты фитирования — в таблице 1.

Данный фит неплохо воспроизводится функцией

$$f(t) = 10 \cdot (A_1 \cdot e^{-(t-1)/\tau_1} + A_2 \cdot e^{-(t-1)/\tau_2} + A_3 \cdot e^{-(t-1)/\tau_3})$$

со значениями амплитуд и времён, приведёнными в таблице 1. Здесь единица в скобке возле переменной t означает сдвиг графика по горизонтали на 1 нс и обусловлена разрешением измерительного прибора.

1.5 Прямые измерения временного профиля спектро-сместителя

Можно фитировать распределение WLS_on или WLS_off 4-мя компонентами, а можно фитировать их разницу WLS_diff тремя компонентами. Можно фитировать функцией с зафиксированными временами, чтобы определить амплитуды, а можно фитировать функцией, где параметрами являются и времена и амплитуды.

1.5.1 Прямые фотоны

В результате анализа экспериментальных данных были получены две гистограммы — с и без сместителя спектра. Первый этап — фитирование профиля без сместителя спектра. В результате фитирования одной экспонентой в различных диапазонах и с различными начальными условиями было получено значение временной постоянной 0.65 нс.

1.5.2 Фитирование WLS_diff

1.6 Время-цифровой преобразователь

На рисунке 6 приведена условная схема функционирования одного канала ВЦП, дающая представление о причинах сдвига калибровочной таблицы и объясняющая минус в формуле расчёта полного времени.

Имеется тактовый генератор частотой 200 МГц. Период такого генератора — 5 нс. Он управляет счётчиком грубого времени. Каждые 5 нс значение грубого времени увеличивается, но не выдаётся на выход. Счётчик точного времени выполнен по технологии Tapped delay line (TDL) — цифровая линия задержки (DDL) с промежуточными выходами. Используются элементы задержки t_0 , имеющие одинаковые характеристики в пределах некоторой точности. Количество элементов должно быть таким, чтобы полностью заполнить период между двумя отсчётами грубого времени. Регистрируемый фронт, поступающий на вход IN, проходит линию задержки, состоящую из нескольких элементов задержки. По мере прохождения линии фронтом триггеры переключаются из 0 в 1, каждый следующий через промежуток времени, равный t_0 . При поступлении следующего фронта от тактового генератора происходит считывание грубого времени и перенос значений выходов триггеров в приоритетный шифратор.

Отличительная особенность такого шифратора — индифферентность к значению на входах $j < i$ при наличии логической единицы на входе i .

Иными словами имеет значение только старший бит, а младшие игнорируются. (У обычного шифратора только один вход должен иметь единицу на входе). Шифратор преобразует номер последнего переключившегося триггера в число, обозначающее значение точного времени. Таким образом точное время должно вычитаться из грубого времени потому что линия задержки измерила время между моментом прихода входного сигнала (start) и моментом прихода следующего отсчёта грубого времени (stop).

Приведена наиболее понятная схема, фактическая же реализация отличается. Например в качестве элемента задержки может выступать сам триггер. Тогда выход i -го триггера напрямую соединяется со входом $(i+1)$ -го триггера. Используемые нами ВЦП в ППВМ имеют в качестве элемента задержки ячейку матрицы, запрограммированную как полный сумматор [докум. TRB, раздел 10.1.1].

ВЦП разрабатывался так, чтобы интервал 5 нс между двумя отсчётами грубого счётчика разбивался на 512 элементов. Тогда было бы достаточно 9-битного шифратора для формирования значения точного времени. Из-за того, что существует также и задержка сигналов в проводниках ненулевой длины, реально таблица может быть сдвинута. Например значение точного времени 0 должно означать, что входной фронт пришёл одновременно с фронтом от тактового генератора (точнее совсем чуть-чуть раньше). Если учитывать задержку в проводниках на приведённой условной схеме, то получится, что команда считывания шифратору идёт дольше, чем до первого триггера. В таком случае никогда не будет принято нулевого значения и 9 бит для хранения точного времени будет недостаточно. По данной причине сообщение, несущее точное время, имеет длину 10 бит, а все калибровочные таблицы имеют правую границу на значении 1024.

Пример таблицы калибровки точного времени представлен в виде графика на рисунке ???. По оси абсцисс откладывается значение счётчика точного времени, а по оси ординат — значение точного времени в наносекундах.

Заключение

Основные результаты диссертационной работы

Науная новизна результатов, полученных автором

Представление основных положений и результатов

Публикации

Список литературы

[1] bibitem1

Таблица 1: Результаты фитирования флюорометрических измерений сместителя спектра.

τ , нс	амплитуда	амплитуда, нормированная по 2-й компоненте
1.4	1387	5.15613
3.8	269	1.00000
45.0	19	0.07063

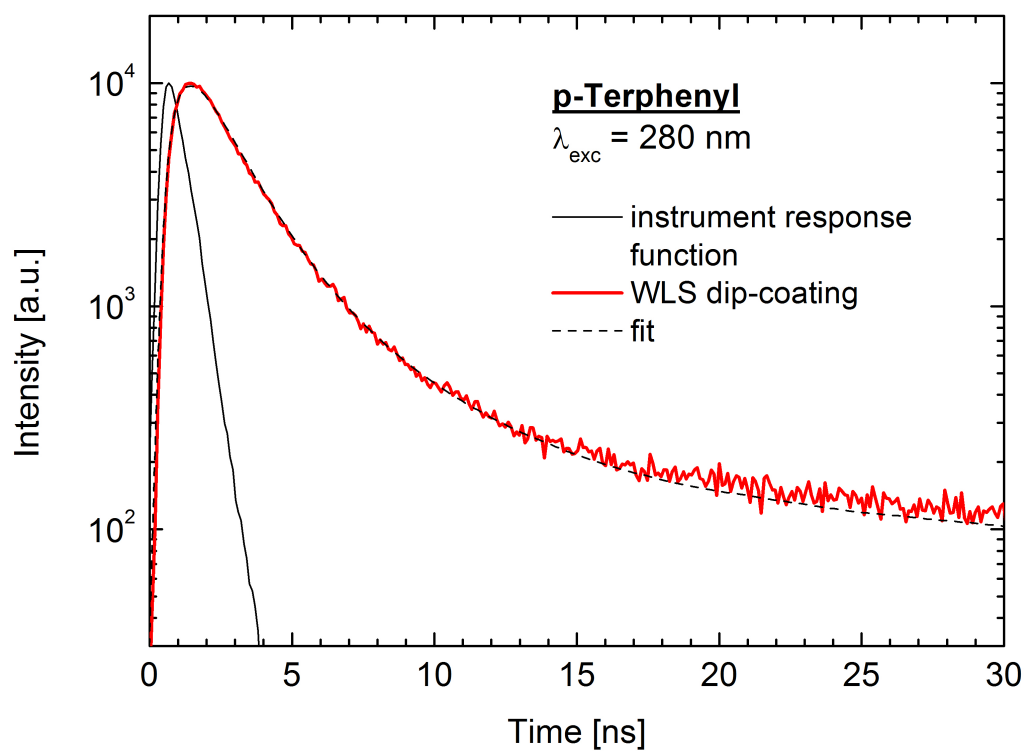


Рис. 1:

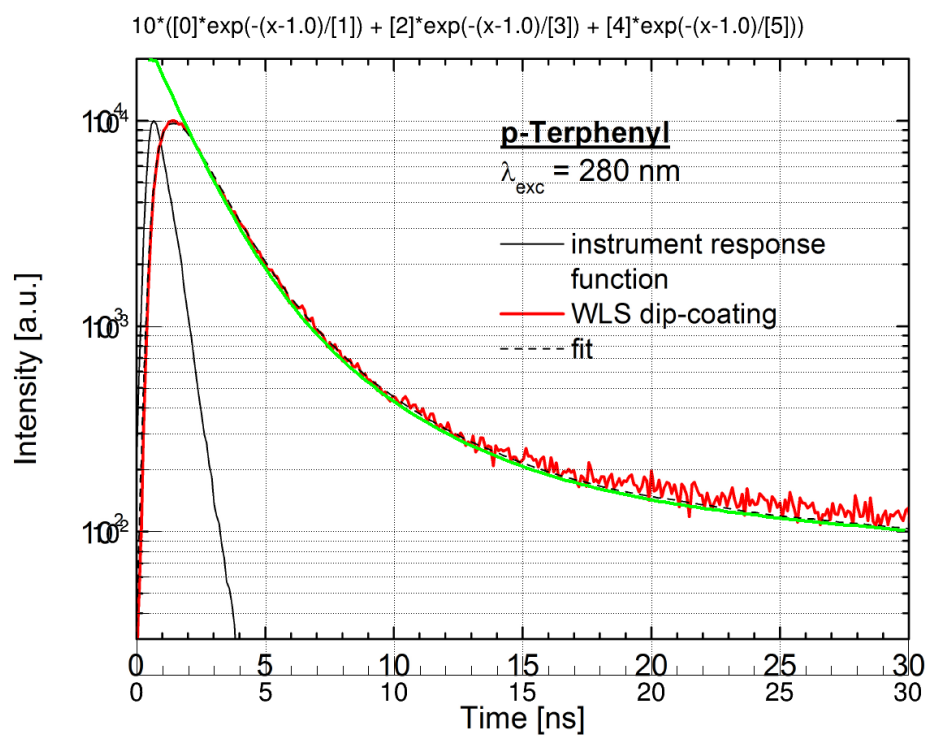


Рис. 2:

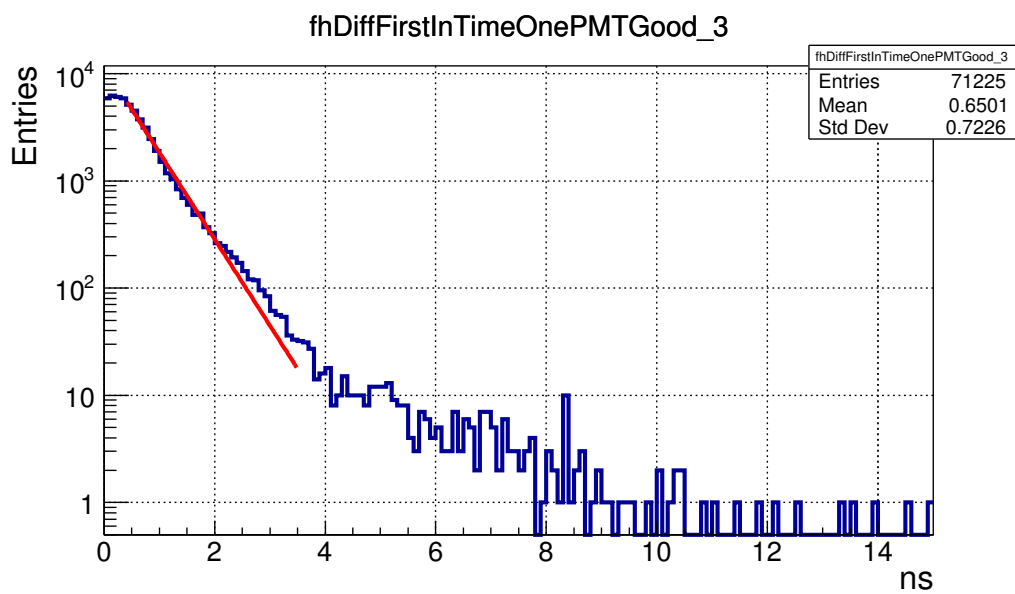


Рис. 3:

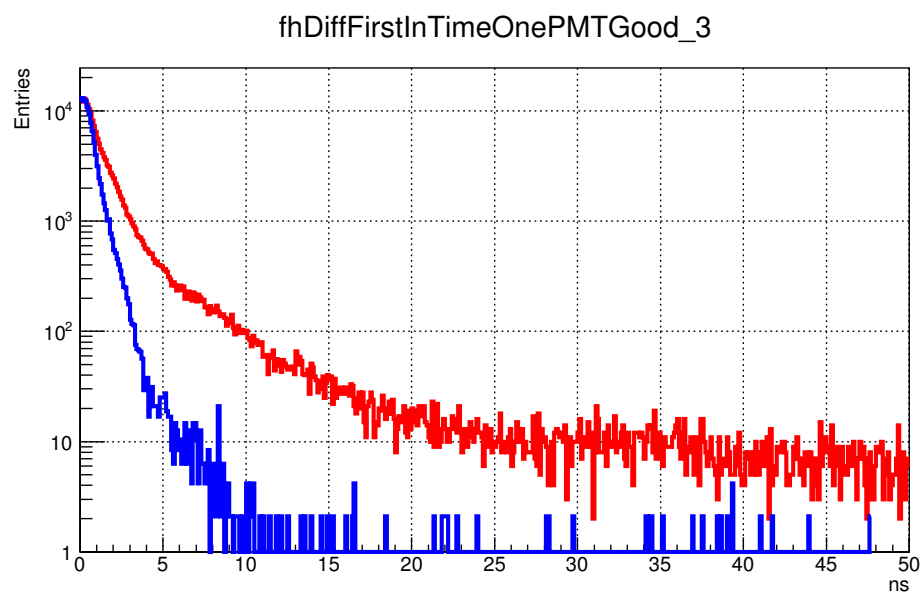


Рис. 4:

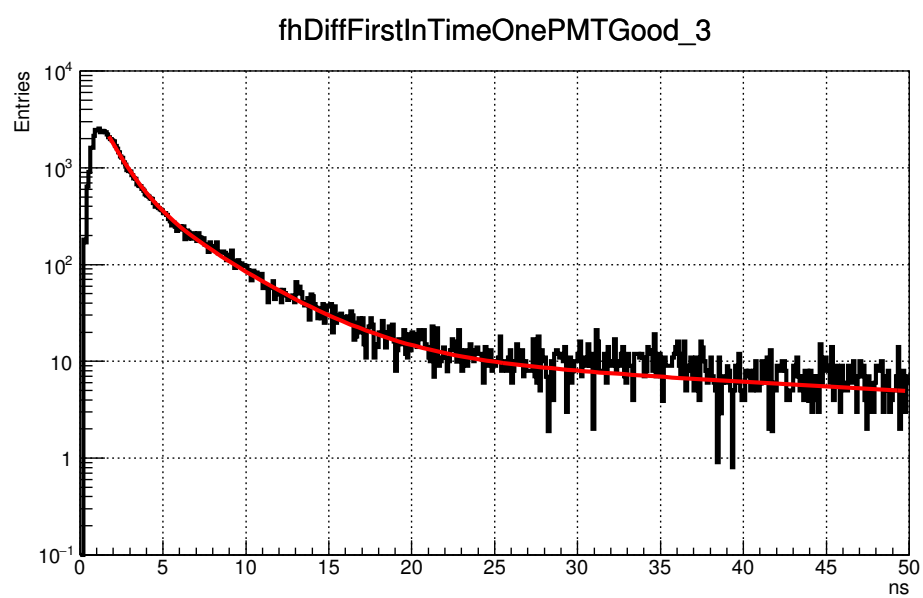


Рис. 5:

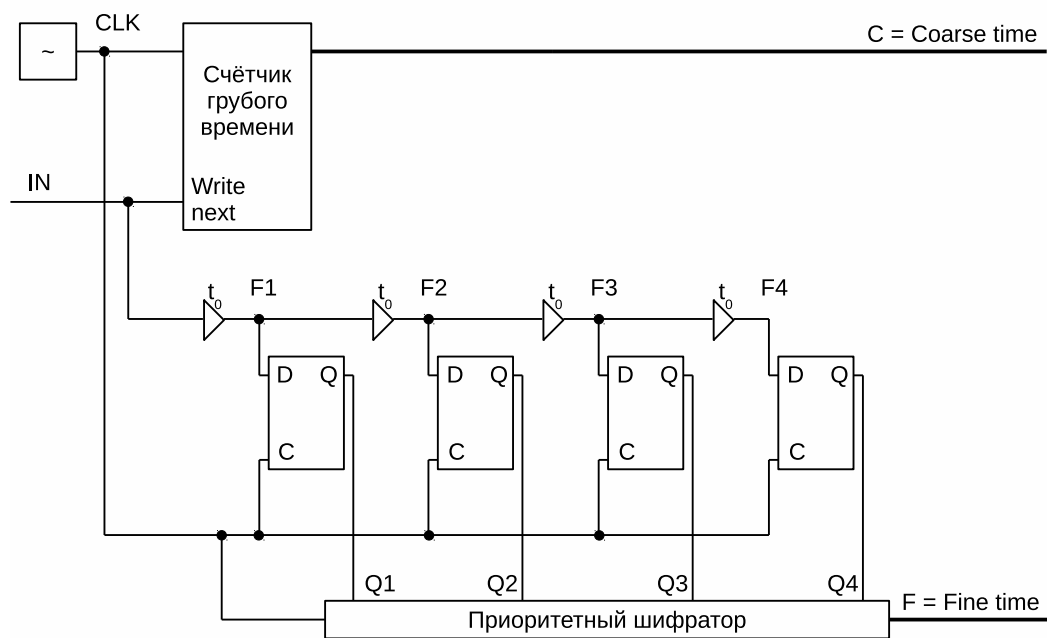


Рис. 6: Структурная схема одного канала ВЦП.

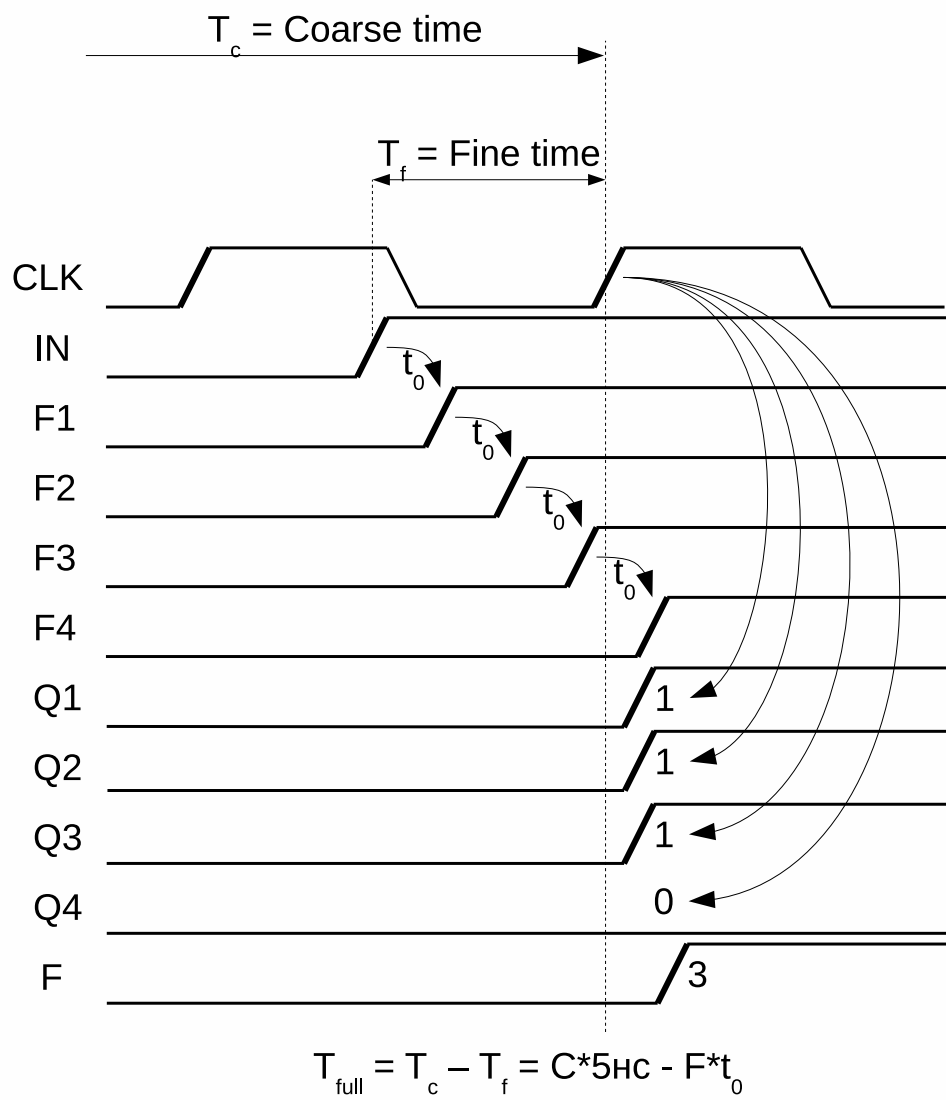


Рис. 7: Пример временных диаграмм при регистрации входного фронта.